

速效救心丸经 ALKBH5/m⁶A 调控自噬减轻缺氧/复氧心肌细胞损伤

王可妍^{1,2}, 高俊杰^{1,2}, 林文勇^{1,2}, 王丹^{1,2}, 张春伶^{1,2}, 牛振超^{1,2}, 李益萍^{1,2*},
王肖龙^{1,2*}

(1. 上海中医药大学附属曙光医院, 国家中心血疾病临床医学研究中心分中心, 上海 201203; 2. 上海中医药大学附属曙光医院心血管病研究所, 上海 201203)

摘要: 目的 探讨速效救心丸对缺氧/复氧心肌细胞的保护作用及可能机制。方法 将 H9c2 细胞随机分为 5 组, 分别为常氧组、缺氧/复氧组、速效+缺氧/复氧组、川芎嗪+缺氧/复氧组、冰片+缺氧/复氧组。通过 RT-qPCR 和 Western blot 检测 RNA 去甲基化酶 ALKBH5 mRNA 和蛋白的表达。为进一步研究, 将 H9c2 细胞分为空白转染+常氧组、空白转染+缺氧/复氧组、空白转染+速效+缺氧/复氧组、空白转染+川芎嗪+缺氧/复氧组、空白转染+冰片+缺氧/复氧组、ALKBH5 过表达+缺氧/复氧组、ALKBH5 过表达+速效+缺氧/复氧组、ALKBH5 过表达+川芎嗪+缺氧/复氧组、ALKBH5 过表达+冰片+缺氧/复氧组。通过化学发光法检测细胞活力, 比色法检测 N⁶-腺嘌呤 (m⁶A) 甲基化水平, RT-qPCR 检测自噬相关基因的表达。结果 与模型组比较, 速效救心丸及其有效成分川芎嗪、冰片预处理与 ALKBH5 过表达可以增加缺氧/复氧后心肌细胞去甲基化酶 ALKBH5 mRNA 和蛋白的表达, 降低 m⁶A 甲基化水平, 抑制 GSK3β、Beclin-1、Atg5 的表达, 增加 mTOR 的表达 ($P < 0.01$)。结论 速效救心丸可以有效减轻缺氧/复氧心肌损伤, 其机制可能是通过 ALKBH5/m⁶A 途径抑制过度自噬。

关键词: 速效救心丸; ALKBH5; m⁶A; 自噬; 心肌细胞; 缺氧/复氧

中图分类号: R285.5

文献标志码: B

文章编号: 1001-1528(2022)03-0918-05

doi: 10.3969/j.issn.1001-1528.2022.03.042

急性心肌梗死是发病率和死亡率很高的主要心血管疾病之一, 其干预的最佳治疗手段是再灌注治疗。然而, 在再灌注过程中会导致额外的心肌损伤, 即心肌缺血再灌注损伤 (myocardial ischemia/reperfusion injury, MIRI)^[1-3]。治疗 MIRI 的方法主要有机械性物理疗法 (低温疗法、远隔缺血后适应等) 及药物治疗 (心房利钠肽、环孢霉素 A 等), 然而临床试验并未证实其确切疗效^[4-6]。因此, MIRI 成为研究的热点和难点。

MIRI 发病机制复杂, 自噬在其病理过程中发挥重要作用^[7]。N⁶-腺嘌呤 (N⁶-methyladenosine, m⁶A) 甲基化是 RNA 重要的表观遗传学修饰, m⁶A 甲基化水平主要由甲基化酶如甲基化酶 3 (methyltransferase-like 3, METTL3) 和去甲基化酶如 ALKBH 同源蛋白 5 (alkylation repair homolog protein 5, ALKBH5) 调控^[8]。Song 等^[9]研究发现缺氧/复氧后 METTL3 表达上调, m⁶A 甲基化水平增加, 进而损害自噬通量, 促进心肌细胞凋亡, 提示 m⁶A 甲基化修饰可能通过影响自噬从而参与 MIRI 的病理过程。

速效救心丸主要由川芎嗪、冰片组成。临床发现其可

显著改善心肌梗死及心绞痛等症状^[10-12]。本课题组预实验研究发现速效救心丸可以减少大鼠心肌梗死面积, 改善心功能, 从而减轻缺血再灌注损伤, 并与自噬机制有关。本研究通过缺氧/复氧心肌细胞模型, 从表观遗传学与自噬角度深入探讨速效救心丸对 MIRI 的保护作用, 为其临床运用提供更加充分的理论依据。

1 材料

1.1 细胞 大鼠心肌细胞 H9c2 细胞购自上海诺百生物科技有限公司。

1.2 试剂与药物 速效救心丸 (天津中新药业集团股份有限公司, 批号 617135), 其浓度的选择基于前期基础研究, 分别用无水乙醇将速效救心丸及其有效成分川芎嗪、冰片稀释溶解至 50、100、25 mg/mL, 与细胞共培养时使其给药终质量浓度为 50、100、25 μg/mL。BCA 蛋白浓度检测试剂盒、SDS-PAGE 凝胶快速配制试剂盒、蛋白 Marker、CellTiter-Lumi™ Steady 发光法细胞活力检测试剂盒 (上海碧云天生物技术有限公司, 批号 0701018181104、P0012AC、061418181119、C0069S); DMEM 高糖培养基

收稿日期: 2021-08-26

基金项目: 国家自然科学基金项目 (81573647, 82074222); 上海市科委引导类项目 (19401934300); 上海市卫健委中医药事业发展三年行动计划项目 [ZY (2018-2020) -CCCX-2003-07]; 上海市中医临床重点实验室项目 (14DZ2273200); 上海市临床重点专科项目 (shslczdk05301)

作者简介: 王可妍 (1996—), 女, 硕士生, 研究方向为中西医结合防治心血管病。Tel: 19821257069, E-mail: 2952099300@qq.com

*通信作者: 李益萍 (1990—), 女, 博士生, 研究方向为中西医结合防治心血管病。Tel: 13916223612, E-mail: 769973206@qq.com

王肖龙 (1965—), 男, 教授, 研究方向为中西医结合防治心血管病。Tel: 13501991450, E-mail: wxlqy0214@163.com

(美国 Corning 公司, 批号 32320006); PBS (上海昱都生物科技有限公司, 批号 AF29526788); 0.25% Trypsin-EDTA [赛默飞世尔科技(中国)有限公司, 批号 193154]; SYBR RT-qPCR Master Mix、RNA 抽取试剂盒(南京诺唯赞生物科技有限公司, 批号 Q341-02、7E552A1); GoScriptTM Reverse Transcription (美国 Promega 公司, 批号 0000389033); ALKBH5 (英国 Abcam 公司, 批号 ab195377); GAPDH (美国 Proteintech 公司, 批号 051201); 二抗(合肥白鲨生物科技有限公司, 批号 69110200); EpiQuik m⁶A RNA 甲基化定量检测试剂盒(美国 Epigentek 公司, 批号 P-9005)。

1.3 仪器 超净工作台(珠海市再鑫仪器有限公司); Forma311 型 CO₂ 细胞培养箱、StepOnePlus Real-Time PCR 仪(美国 Thermo 公司); SDS-PAGE 电泳仪、湿转转膜仪(美国 Bio-Rad 公司); 5430R 型高速冷冻离心机(德国 Eppendorf 公司)。

2 方法

2.1 缺氧/复氧模型的建立及复氧时间的确定 H9c2 细胞培养在含 10% 胎牛血清的高糖 DMEM 中, 5% CO₂ 培养箱中传代培养至第 3 代后建立缺氧/复氧模型。更换培养基为低糖无血清的 DMEM, 在缺氧条件下(1% O₂、94% N₂、5% CO₂)培养 2 h 后再复氧(95% 空气, 5% CO₂), 分别复氧 0、2、4、6 h。

2.2 化学发光法检测细胞活力 通过 CellTiter-LumiTM Steady 发光法细胞活力检测试剂盒检测不同复氧时间组的 ATP 水平来确定最佳复氧时间。使用满足化学发光检测条件的 96 孔板, 之后进行细胞铺板, 5% CO₂, 37 °C, 过夜培养。室温平衡 10 min, 向每孔中加入发光法检测试剂, 室温振荡 2 min, 室温孵育 10 min, 使发光信号趋于稳定。使用具有检测化学发光功能的多功能酶标仪进行检测。

2.3 实验分组 H9c2 细胞铺板密度在 30%~40% 之间, 随机分为常氧组、缺复/复氧组、速效+缺氧/复氧组、川芎嗪+缺氧/复氧组、冰片+缺氧/复氧组, 药物预处理 1 h 之后进行缺氧/复氧处理, 待到规定时间后收集细胞 mRNA 和蛋白。

2.4 Western blot 检测 ALKBH5 的表达 提取各组细胞蛋白, BCA 试剂盒蛋白定量后变性, 上样、电泳、转膜, 脱脂奶粉封闭, 加入 ALKBH5 一抗(1:2 000), 4 °C 过夜孵育, 洗膜后加入二抗(1:10 000), 室温孵育 2 h, 洗膜, 显影。

2.5 Human ALKBH5 过表达慢病毒制备 根据 ALKBH5 (NM_017758.3) 基因信息, 针对 CDS 区进行基因合成, 并将其构建入慢病毒表达载体骨架 PDS085_pL-MCS(用 NheI 和 AscI 酶切)中, 即获得慢病毒表达载体 pl-CMV-ALKBH5。

2.6 转染实验分组 H9c2 细胞铺板密度在 30%~40% 之间, 随机分为空白转染+常氧组、空白转染+缺氧/复氧组、空白转染+速效预处理+缺氧/复氧组、空白转染+川芎嗪+

缺氧/复氧组、空白转染+冰片+缺氧/复氧组、ALKBH5 过表达+缺氧/复氧组、ALKBH5 过表达染+速效+缺氧/复氧组、ALKBH5 过表达+川芎嗪+缺氧/复氧组、ALKBH5 过表达+冰片+缺氧/复氧组。

2.7 慢病毒转染细胞 从培养箱中取出细胞, 吸去旧培养基, 将含病毒的培养液小心加入各孔中, 放于 CO₂ 培养箱孵育 4~6 h, 吸去含病毒的培养液, PBS 清洗细胞 2~3 次, 最后加入适量培养液, 过夜后观察细胞状态。

2.8 RT-qPCR 检测相关基因的表达 采用 RT-qPCR 法对相关基因表达进行定量分析。用 TRIzol 试剂提取心肌细胞总 RNA, 逆转录获取 cDNA, SYBR Green PCR Master Mix Kit 用于量化 RNA 水平, 以 β -actin 作为内参, 引物序列见表 1。

表 1 引物序列

引物	序列
ALKBH5	正向 5'-GACCTGCGTGAGAACGCTAA-3' 反向 5'-TGGTACTTCGTTGGTGGTC-3'
GSK3 β	正向 5'-TGGACAGACCAATAACGCCG-3' 反向 5'-GTGACCAGTGTGCTGAGTG-3'
mTOR	正向 5'-AATCGTGGTGGCTCTGGAG-3' 反向 5'-GGAGGCAACAACAAGTCGAG-3'
Atg5	正向 5'-ACGTGTGGTTGGACGGATT-3' 反向 5'-TGTTCCAAGGCAGACCTGAG-3'
Beclin1	正向 5'-CCCAGCCAGGATGATGTCTAC-3' 反向 5'-AGTCTCCGGCTGAGGTTCTC-3'
LC3B	正向 5'-CCCAGCCAGGATGATGTCTAC-3' 反向 5'-CCCAGCCAGGATGATGTCTAC-3'
P62	正向 5'-CTGAGAAGGACTCGCTCGAC-3' 反向 5'-TCAGTACCCGCTTTCAAGC-3'
β -actin	正向 5'-ACACCCCAGCCATGTACGT-3' 反向 5'-ATGGGCACAGTGTGGGTGA-3'

2.9 比色法检测 m⁶A 甲基化水平 提取样品 RNA, 每次反应的总 RNA 量可为 100~300 ng, 每个反应的最佳量为 200 ng。制备缓冲液与溶液, 与 RNA 结合, 捕获 m⁶A RNA, 使用酶标仪检测信号, 计算 m⁶A 的水平。

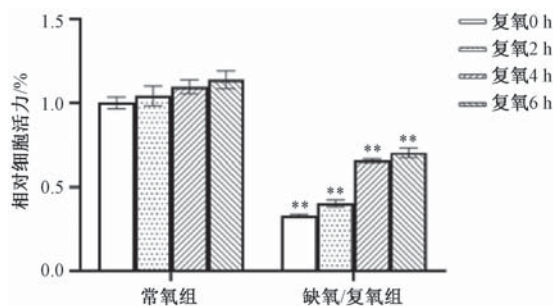
2.10 统计学分析 通过 SPSS 25.0 软件进行处理, 符合正态性及方差齐性, 组间比较采用单因素方差分析; 不符合正态性和(或)方差齐性, 组间比较使用非参数检验。 $P<0.05$ 表示差异有统计学意义。

3 结果

3.1 H9c2 细胞不同复氧时间对细胞活力的影响 如图 1 所示, 不同复氧时间组的细胞活力均低于常氧培养细胞($P<0.01$); 其中复氧 4 h 可以较好的恢复细胞活力。因此后续缺氧/复氧模型均采取缺氧 2 h, 复氧 4 h。

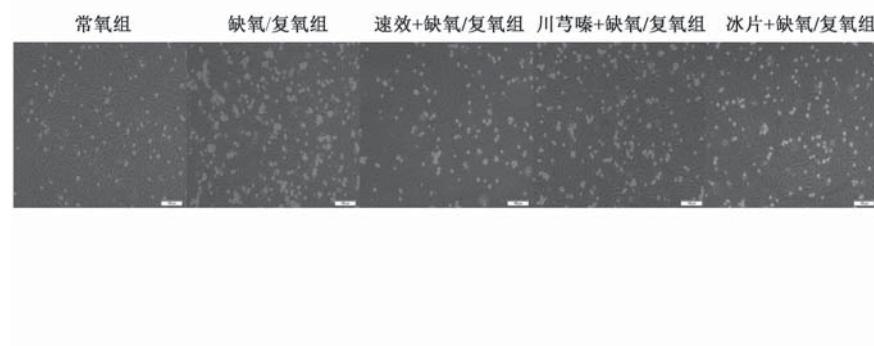
3.2 速效救心丸预处理对细胞状态的影响 如图 2 所示, 常氧组细胞生长状态良好, 死亡细胞较少; 与常氧组比较, 缺氧/复氧组细胞死亡增加($P<0.01$); 速效救心丸、川芎嗪及冰片预处理可减少缺氧/复氧后心肌细胞的死亡, 促进增殖($P<0.01$)。

3.3 速效救心丸预处理对缺氧/复氧心肌细胞 ALKBH5 表



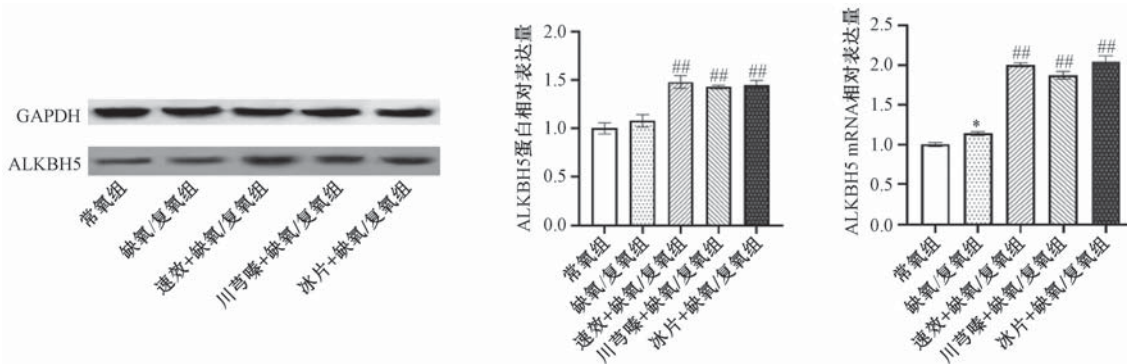
注：与同一复氧时间常氧组比较，** $P<0.01$ 。

图1 不同复氧时间心肌细胞活力



注：与常氧组比较，** $P<0.01$ ；与缺氧/复氧组比较，## $P<0.01$ 。

图2 速效救心丸对缺氧/复氧后心肌细胞的影响



注：与常氧组比较，* $P<0.05$ ；与缺氧/复氧组比较，## $P<0.01$ 。

图3 速效救心丸对ALKBH5表达的影响

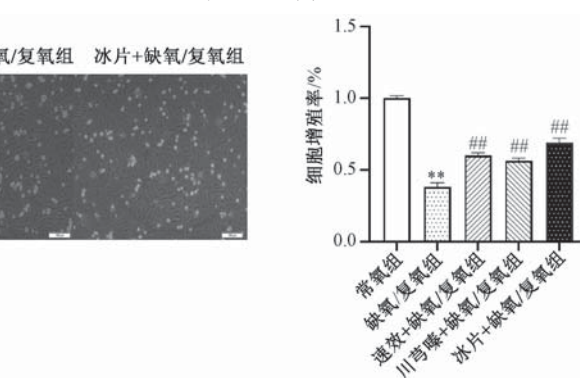
下调 m⁶A 水平 ($P<0.01$)。

3.5 速效救心丸预处理及 ALKBH5 过表达对缺氧/复氧心肌细胞活力的影响 如图 5 所示，与缺氧/复氧组比较，速效救心丸及其有效成分川芎嗪、冰片预处理可提高缺氧/复氧后心肌细胞的活力 ($P<0.01$)；与缺氧/复氧组比较，ALKBH5 过表达处理也可增加心肌细胞活力 ($P<0.01$)。

3.6 速效救心丸预处理及 ALKBH5 过表达对缺氧/复氧心肌细胞自噬的影响 如图 6 所示，与常氧组比较，缺氧/复氧组心肌细胞 GSK3 β 、Atg5、Beclin1、P62 mRNA 表达均升高 ($P<0.01$)，mTOR mRNA 表达降低 ($P<0.01$)；与缺氧/复氧组比较，速效救心丸及其有效成分川芎嗪、冰片预处理可抑制 GSK3 β 、Atg5、Beclin1、P62 mRNA 表达 ($P<0.01$)，促进 mTOR mRNA 表达 ($P<0.01$)；与缺氧/复氧

达的影响 如图 3 所示，与常氧组比较，缺氧/复氧组细胞去甲基化酶 ALKBH5 的 mRNA 和蛋白表达升高，其中 mRNA 表达差异有统计学意义 ($P<0.05$)，蛋白表达差异无统计学意义 ($P>0.05$)；与缺氧/复氧组比较，速效救心丸及其有效成分川芎嗪、冰片预处理均可增加缺氧/复氧后心肌细胞 ALKBH5 mRNA 和蛋白表达 ($P<0.01$)。

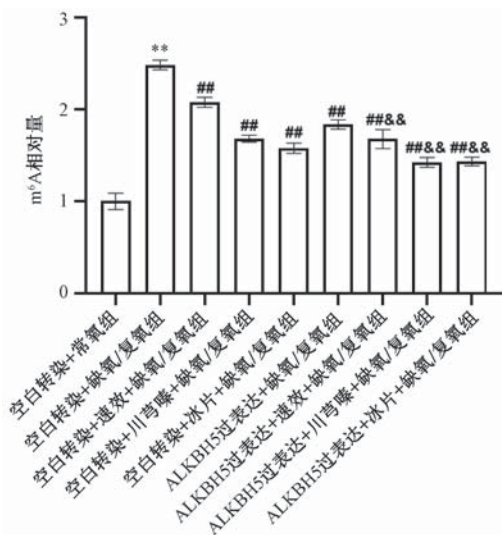
3.4 速效救心丸预处理及 ALKBH5 过表达对缺氧/复氧心肌细胞 m⁶A 甲基化水平的影响 如图 4 所示，与缺氧/复氧组比较，速效救心丸及其有效成分川芎嗪、冰片预处理可降低 m⁶A 水平 ($P<0.01$)，ALKBH5 过表达处理后也可



组比较，ALKBH5 过表达也可抑制 GSK3 β 、Atg5、Beclin-1、P62 mRNA 表达，促进 mTOR mRNA 表达 ($P<0.01$)。

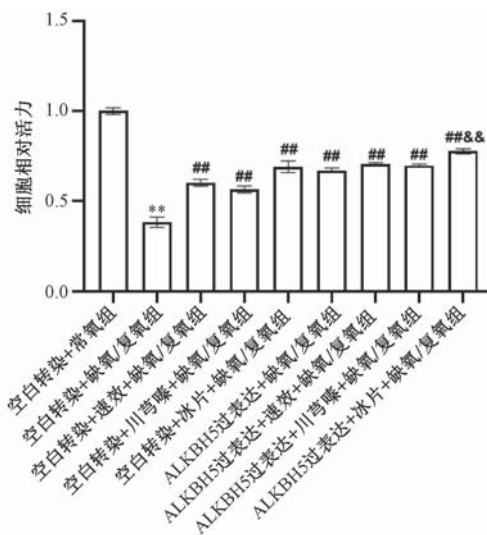
4 讨论

在心肌缺血再灌注过程中，自噬被明显激活，超过一定水平时会导致细胞功能障碍，从而发生自噬性细胞死亡^[13-14]，因此，抑制过度自噬可能成为治疗 MIRI 的一个有效靶点。参与自噬调控的经典信号通路之一是 GSK3 β /mTOR 通路，一些关键蛋白可直接或间接反映自噬过程^[15-16]。Beclin 1 是自噬起始阶段的关键调控分子，调控早期自噬小体的形成。微管相关蛋白轻链 3 蛋白 (microtubular-associated protein light chain 3 protein, LC3) 是 Beclin 1 蛋白的关键下游因子，是检测自噬发生的标志性蛋白。Atg5 也参与自噬体的形成^[17-20]。P62 的主要功能是将



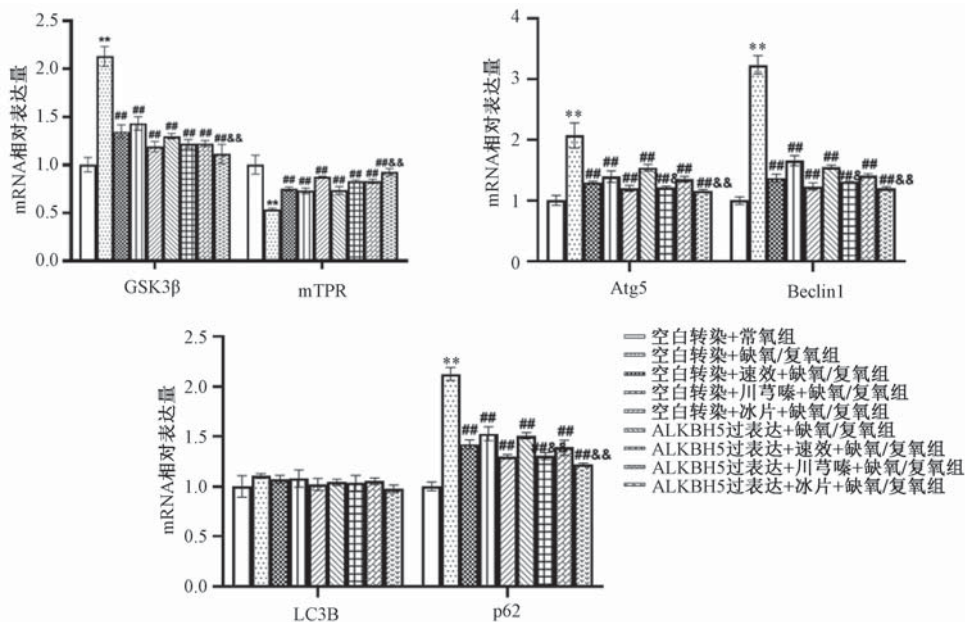
注: 与空白转染+常氧组比较, ** $P < 0.01$; 与空白转染+缺氧/复氧组比较, # $P < 0.01$; 与 ALKBH5 过表达+缺氧/复氧组比较, & $P < 0.01$ 。

图4 速效救心丸与 ALKBH5 过表达对心肌细胞 m⁶A 甲基化水平的影响



注: 与空白转染+常氧组比较, ** $P < 0.01$; 与空白转染+缺氧/复氧组比较, # $P < 0.01$; 与 ALKBH5 过表达+缺氧/复氧组比较, & $P < 0.01$ 。

图5 速效救心丸与 ALKBH5 过表达对心肌细胞活力的影响



注: 与空白转染+常氧组比较, ** $P < 0.01$; 与空白转染+缺氧/复氧组比较, # $P < 0.01$; 与 ALKBH5 过表达+缺氧/复氧组比较, & $P < 0.01$ 。

图6 速效救心丸与 ALKBH5 过表达对心肌细胞自噬的影响

被降解的细胞器运输至成熟的自噬体^[21]。随着对表观遗传学的深入研究发现, m⁶A 修饰与自噬密切相关。

本课题组发现, 速效救心丸及其有效成分川芎嗪、冰片可有效改善缺氧/复氧心肌细胞损伤; 缺氧/复氧后心肌细胞去甲基化酶 ALKBH5 mRNA 表达略增加, 蛋白表达差异无统计学意义; 而速效救心丸及其有效成分川芎嗪、冰片预处理可增加去甲基化酶 ALKBH5 的表达, 下调 m⁶A 甲基化水平; 抑制 GSK3β、Beclin-1、Atg5、P62 的表达, 增加 mTOR 的表达。采用慢病毒转染技术使去甲基化酶 ALKBH5

过表达, ALKBH5 过表达后缺氧/复氧心肌细胞 m⁶A 甲基化水平下降、细胞活力增加, GSK3β、Beclin-1、Atg5、P62 的表达下降, mTOR 的表达增加, 表明速效救心丸可能通过 ALKBH5/m⁶A 途径抑制过度自噬从而减轻缺氧/复氧心肌细胞损伤。此外, 本课题组发现速效救心丸拮抗缺血再灌注损伤的作用优于单体川芎, 弱于单体冰片, 提示速效救心丸减缓缺血再灌注损伤主要是通过冰片发挥作用, 其用量较少, 且在药物服用安全范围内, 故对人体无害。

然而, 本实验并未在蛋白层次上探索自噬相关指标的

变化，其中LC3相对mRNA表达结果无统计学意义，故在以后的研究中应通过Western blot等技术来深入对自噬通路的研究。另外，应增加干扰ALKBH5表达后对缺氧/复氧心肌细胞的影响，以期为速效救心丸治疗MIPI提供更加充足的证据。MIPI目前尚无有效的治疗方法，但研究发现我国传统中药，如五参顺脉胶囊、三七总皂苷等通过抑制过度自噬减轻缺血再灌注损伤^[22-25]，未来需要更多相关研究来推动我国传统中医药卫生事业的发展。

参考文献：

- [1] Ibáñez B, Heusch G, Ovize M, et al. Evolving therapies for myocardial ischemia/reperfusion injury [J]. *J Am Coll Cardiol*, 2015, 65(14): 1454-1471.
- [2] Liu N B, Wu M, Chen C, et al. Novel molecular targets participating in myocardial ischemia-reperfusion injury and cardioprotection [J]. *Cardiol Res Pract*, 2019, 19: 6935147.
- [3] Fröhlich G M, Meier P, White S K, et al. Myocardial reperfusion injury: looking beyond primary PCI [J]. *Eur Heart J*, 2013, 34(23): 1714-1722.
- [4] Davidson S M, Ferdinand P, Andreadou I, et al. Multitarget strategies to reduce myocardial ischemia/reperfusion injury: JACC review topic of the week [J]. *J Am Coll Cardiol*, 2019, 73(1): 89-99.
- [5] Binder A, Ali A, Chawla R, et al. Myocardial protection from ischemia-reperfusion injury post coronary revascularization [J]. *Expert Rev Cardiovasc Ther*, 2015, 13(9): 1045-1057.
- [6] Heusch G. Cardioprotection research must leave its comfort zone [J]. *Eur Heart J*, 2018, 39(36): 3393-3395.
- [7] Turer A T, Hill J A. Pathogenesis of myocardial ischemia-reperfusion injury and rationale for therapy [J]. *Am J Cardiol*, 2010, 106(3): 360-368.
- [8] Meyer K D, Jaffrey S R. Rethinking m⁶A readers, writers, and erasers [J]. *Annu Rev Cell Dev Biol*, 2017; 33: 319-342.
- [9] Song H, Feng X, Zhang H, et al. METTL3 and ALKBH5 oppositely regulate m⁶A modification of *TFEB* mRNA, which dictates the fate of hypoxia/reoxygenation-treated cardiomyocytes [J]. *Autophagy*, 2019, 15(8): 1419-1437.
- [10] 张学斌, 肖巍. 速效救心丸治疗稳定型心绞痛的药物经济学评价[J]. 中国药物经济学, 2021, 16(7): 44-49; 56.
- [11] 郑瑞红. 3种抗冠心病药物治疗稳定型心绞痛的临床观察[J]. 北方药学, 2020, 17(7): 56-57.
- [12] 林泉, 徐凤芹, 马晓娟, 等. 速效救心丸治疗急性冠状动脉综合征疗效和安全性的系统评价[J]. 天津中医药, 2021, 38(5): 608-615.
- [13] Wang X, Guo Z, Ding Z, et al. Inflammation, autophagy, and apoptosis after myocardial infarction [J]. *J Am Heart Assoc*, 2018, 7(9): e008024.
- [14] Aghaei M, Motallebnezhad M, Ghorhanlu S, et al. Targeting autophagy in cardiac ischemia/reperfusion injury: a novel therapeutic strategy [J]. *J Cell Physiol*, 2019, 234(10): 16768-16778.
- [15] Tao Z, Liu L, Zheng L D, et al. Autophagy in adipocyte differentiation [J]. *Methods Mol Biol*, 2019, 1854: 45-53.
- [16] Valente G, Morani F, Nicotra G, et al. Expression and clinical significance of the autophagy proteins Beclin 1 and LC3 in ovarian cancer [J]. *Biomed Res Int*, 2014, 2014: 462658.
- [17] 陆麒瑾, 李佳钰, 蔡义思, 等. 当归拈痛汤对风湿热痹型佐剂性关节炎大鼠自噬蛋白LC3, Beclin 1, p62 表达的影响[J]. 中国实验方剂学杂志, 2022, 28(1): 41-49.
- [18] Chang S J, Ou-Yang F, Tu H P, et al. Decreased expression of autophagy protein LC3 and stemness (CD44+/CD24-/low) indicate poor prognosis in triple-negative breast cancer [J]. *Hum Pathol*, 2016, 48: 48-55.
- [19] 谢昆, 李密杰, 蒋成砚, 等. 自噬相关蛋白ATG5/BECLIN-1调控细胞自噬和凋亡的分子机理研究进展 [J]. 中国人兽共患病学报, 2018, 34(3): 272-275; 285.
- [20] 彭霞, 黄政德, 成细华, 等. 加味丹参饮预处理调控自噬相关基因Beclin-1 和 ATG5 表达抗大鼠心肌缺血再灌注损伤[J]. 湖南中医药大学学报, 2016, 36(7): 20-24.
- [21] 徐云云. 自噬标记蛋白 (Beclin1、LC3、p62、mTOR) 在恶性肺结节中的表达及临床意义 [D]. 兰州: 西北民族大学, 2021.
- [22] 索红亮, 孙治霞, 曾垂义, 等. 五参顺脉胶囊通过自噬改善心肌缺血再灌注损伤[J]. 中国比较医学杂志, 2021, 31(7): 37-43.
- [23] 王飘, 郑晴, 胡婷, 等. 三七总皂苷抗大鼠缺血再灌注损伤作用及对心肌自噬水平的影响[J]. 中国中医基础医学杂志, 2021, 27(8): 1249-1252; 1285.
- [24] 崔健昆, 耿乃志, 孟凡吉, 等. 去甲氧基姜黄素通过 PI3K-Akt-mTOR 信号通路调控细胞自噬对心肌缺血再灌注损伤大鼠的保护作用研究 [J]. 中医药学报, 2020, 48(8): 19-24.
- [25] 孙大伟, 索艳荣, 冯丽莎, 等. 基于自噬基因Beclin-1与LC3探讨丹参素对心肌缺血再灌注损伤大鼠心肌ATP5G1的影响[J]. 中华中医药杂志, 2019, 34(6): 2421-2425.